

黄恺,孙鑫,赵志敏,等.两种乙肝肝纤维化小鼠复合模型的比较[J].中国实验动物学报,2019,27(5):598-603.

Huang K,Sun X,Zhao ZM, et al. Comparison of two composite mouse models of hepatitis B fibrosis[J]. Acta Lab Anim Sci Sin,2019,27(5):598-603.

Doi:10.3969/j.issn.1005-4847.2019.05.008

## 两种乙肝肝纤维化小鼠复合模型的比较

黄恺<sup>1</sup>,孙鑫<sup>2</sup>,赵志敏<sup>1</sup>,彭渊<sup>2</sup>,陶艳艳<sup>2</sup>,刘成海<sup>1,2\*</sup>

(1. 上海市中医临床重点实验室,上海 201203; 2. 上海中医药大学附属曙光医院 肝病研究所,上海 201203)

**【摘要】目的** 采用C57BL/6 N-Tg (1.28HBV)/Vst型乙肝病毒转基因小鼠与rAAV8-1.3HBV腺相关病毒转染小鼠联合CCl<sub>4</sub>腹腔注射诱导乙肝肝纤维化小鼠模型,比较两种小鼠模型的病毒学及生化病理特点。**方法** 实验分野生型对照组(WT)、rAAV8-1.3HBV转染组(rAAV)、CCl<sub>4</sub>组(CCl<sub>4</sub>)、rAAV8-1.3HBV复合CCl<sub>4</sub>模型组(rAAV+CCl<sub>4</sub>)、C57BL/6 N-Tg(1.28HBV)/Vst乙肝病毒转基因组(Tg)、转基因复合CCl<sub>4</sub>组(Tg+CCl<sub>4</sub>),共计造模12周。ELISA试剂盒测定血清HBsAg、HBeAg水平,荧光定量PCR法检测血清HBV-DNA载量,肝组织石蜡切片免疫组化观察肝内HBsAg及HBcAg的表达,生化试剂盒测定血清ALT、AST、AKP,盐酸水解法检测肝组织羟脯氨酸(Hyp)含量。HE染色及天狼星红染色观察炎症与胶原等病理变化。**结果** 除WT组、CCl<sub>4</sub>组,其余各组ELISA检测血清HBsAg、HBeAg均呈阳性,同时荧光定量PCR检测HBV-DNA载量均高于1.0×10<sup>4</sup> IU/mL。其中Tg+CCl<sub>4</sub>组HBsAg、HBeAg含量高于rAAV+CCl<sub>4</sub>组。rAAV、rAAV+CCl<sub>4</sub>组HBV-DNA水平高于Tg、Tg+CCl<sub>4</sub>组。免疫组化表明:除WT组、CCl<sub>4</sub>组,其余各组肝组织中HBsAg与HBcAg均呈阳性。rAAV组对比Tg组,HBsAg表达减少;rAAV组相比Tg组,HBcAg表达明显增多。Tg+CCl<sub>4</sub>与rAAV+CCl<sub>4</sub>相比,HBsAg结果无明显差异,rAAV+CCl<sub>4</sub>组HBcAg阳性表达明显增高。生化结果显示:CCl<sub>4</sub>组、Tg+CCl<sub>4</sub>组、rAAV+CCl<sub>4</sub>组血清ALT、AST及肝组织Hyp含量均显著升高;其中Tg+CCl<sub>4</sub>组Hyp含量高于rAAV+CCl<sub>4</sub>组。AKP结果对比WT组无明显差异。病理结果表明:对比WT组,rAAV与Tg组炎症与胶原沉积不明显;CCl<sub>4</sub>组、Tg+CCl<sub>4</sub>组、rAAV+CCl<sub>4</sub>组炎症反应及胶原沉积明显增高,其中Tg+CCl<sub>4</sub>组胶原沉积高于rAAV+CCl<sub>4</sub>组。**结论** 两种复合模型符合乙肝肝纤维化模型需求,其差异主要集中于病毒学指标以及病理改变。rAAV+CCl<sub>4</sub>组在HBV-DNA载量上具有优势,Tg+CCl<sub>4</sub>组在纤维化进展更为明显。

**【关键词】** 动物模型;乙型肝炎病毒;炎症;肝纤维化;病理学

**【中图分类号】** Q95-33   **【文献标识码】** A   **【文章编号】** 1005-4847(2019) 05-0598-06

## Comparison of two composite mouse models of hepatitis B fibrosis

HUANG Kai<sup>1</sup>, SUN Xin<sup>2</sup>, ZHAO Zhimin<sup>1</sup>, PENG Yuan<sup>2</sup>, TAO Yanyan<sup>2</sup>, LIU Chenghai<sup>1,2\*</sup>

(1. Shanghai Key Laboratory of Traditional Clinical Chinese Medicine, Shanghai 201203, China.

2. Institute of Liver Diseases, Shuguang Hospital, Shanghai University of Traditional Chinese Medicine, Shanghai 201203)

Corresponding author: LIU Chenghai. E-mail: chenghailiu@hotmail.com

**【Abstract】 Objective** We examined the virological, biochemical and pathological features of two composite mouse models of hepatitis B fibrosis. **Methods** Mice were transfected with rAAV8-1.3HBV adeno-associated virus and C57BL/6 N-Tg(1.28HBV)/Vst type hepatitis B virus transgenic mice, combined with CCl<sub>4</sub> to induce hepatitis B liver fibrosis in mice. The mice were divided into the following groups: wild-type control group (WT), rAAV8-1.3HBV transfection control group (rAAV), CCl<sub>4</sub> control group (CCl<sub>4</sub>), rAAV8-1.3HBV transfection with CCl<sub>4</sub> model group (rAAV+CCl<sub>4</sub>), C57BL/6 N-Tg (1.28HBV)/Vst hepatitis B virus transgenic control group (Tg), and HBV transgenic

[基金项目]国家自然科学基金重点项目(81730109);上海中医药大学研究生创新培育项目(Y201826)。

Funded by the National Natural Science Foundation of China(81730109), and the Graduate Innovative Training Program of Shanghai University of TCM (Y201826).

[作者简介]黄恺(1987—),男,初级技师,学士,研究方向:实验技术。Email:kanghui12@163.com

[通信作者]刘成海(1965—),男,教授、博士生导师,研究方向:中西医结合防治慢性肝病的基础与临床。Email:chenghailiu@hotmail.com

complex CCl<sub>4</sub> model group (Tg+CCl<sub>4</sub>). After 12 weeks, the levels of HBsAg and HBeAg were measured by ELISA. The HBV-DNA load was detected by PCR. The expression of HBsAg and HBcAg in the liver tissue was observed by immunohistochemical staining. Serum ALT, AST and AKP were determined by a biochemical kit, and hydroxyproline (Hyp) content was detected by hydrochloric acid hydrolysis method. HE staining and Sirius red staining were used to observe the pathological changes. **Results** ELISA result showed positive serum HBsAg and HBeAg, meanwhile the PCR examined the HBV-DNA load was higher than  $1.0 \times 10^4$  IU/mL in all the groups except for the WT and CCl<sub>4</sub> group. The HBsAg and HBeAg content in the Tg+CCl<sub>4</sub> group was higher than in the rAAV+CCl<sub>4</sub> group. The levels of HBV-DNA in the rAAV and rAAV+CCl<sub>4</sub> groups were higher than those in the Tg and Tg+CCl<sub>4</sub> groups. Immunohistochemistry showed positive HBsAg and HBcAg in the liver tissues in all groups except the WT group and CCl<sub>4</sub> group. The expression of HBsAg was decreased but HBcAg was significantly increased in the rAAV+group compared with the Tg group. No significant difference was detected in HBsAg between the Tg+CCl<sub>4</sub> group and rAAV+CCl<sub>4</sub> group, but the HBcAg positive expression was obviously increased in the latter group. The levels of ALT, AST and liver Hyp were significantly increased in the CCl<sub>4</sub> group, Tg+CCl<sub>4</sub> group and rAAV+CCl<sub>4</sub> group. The Hyp content in the Tg+CCl<sub>4</sub> group was higher than in the rAAV+CCl<sub>4</sub> group. The biopsy showed that there were significantly increased inflammation reaction and collagen deposition in the CCl<sub>4</sub> group, Tg+CCl<sub>4</sub> group and rAAV+CCl<sub>4</sub> group. The Tg+CCl<sub>4</sub> group collagen deposition was higher than in the rAAV+CCl<sub>4</sub> group. **Conclusions** The two composite mouse models conform to the hepatitis B liver fibrosis model and the differences are concentrated in virological indicators and pathological changes. The rAAV + CCl<sub>4</sub> group has an advantage in HBV-DNA load, and the Tg + CCl<sub>4</sub> group was more obvious in fibrosis progress.

**[Keywords]** mouse model; hepatitis B virus; inflammation; hepatic fibrosis; histopathology

Conflicts of Interest: The authors declare no conflict of interest.

乙型肝炎病毒(hepatitis B virus, HBV)是一种嗜肝性DNA病毒,可导致慢性肝炎、肝硬化与肝癌<sup>[1-2]</sup>。建立稳定的HBV诱导的慢性肝炎肝纤维化动物模型对于乙肝肝纤维化病理机制及其药物评价具有重要意义。本研究采用C57BL/6 N-Tg(1.28HBV)/Vst乙肝病毒转基因(HBV-Tg)与rAAV8-1.3HBV腺相关病毒转染(rAAV)小鼠,联合CCl<sub>4</sub>腹腔注射,诱导慢性乙肝肝纤维化发生。观察比较两种模型的病毒学及纤维化病理特点,为研究时选择相关动物模型提供依据。

## 1 材料与方法

### 1.1 材料

#### 1.1.1 实验动物

SPF级雄性C57BL/6野生型小鼠20只,C57BL/6N-Tg(1.28HBV)/Vst乙肝病毒转基因小鼠10只,购自并饲养于北京维通达生物技术有限公司【SCXK(京)2014-0001】【SYXK(京)2014-0015】,体重( $20 \pm 5$ )g,自由饮食能水。

#### 1.1.2 实验试剂与仪器

rAAV8-1.3HBV重组腺相关病毒,购自北京五加和分子医学研究所有限公司。四氯化碳(Carbon tetrachloride,CCl<sub>4</sub>),化学纯;橄榄油,化学纯,均购自上海国药集团化学试剂有限公司;血清HBsAg、HBeAg检测试剂盒(酶联免疫法,ELISA),HBV-DNA

定量检测试剂盒(PCR-荧光探针法),购自上海科华生物工程股份有限公司;谷丙转氨酶(ALT/GPT)测试盒(货号:C009-1)、谷草转氨酶(AST/GOT)测试盒(货号:C010-1)、碱性磷酸酶(AKP)测试盒(货号:A059-1)、苏木精-伊红染液(货号:D006),均购自南京建成生物工程研究所;兔抗HBcAg多克隆抗体(货号:ab140243)、小鼠抗HBsAg单克隆抗体(货号:ab859)、兔鼠通用HRP/DAB二抗显色试剂盒(货号:ab64264),均购自Abcam公司;羟脯氨酸(Hyp)标准品购自Sigma公司。Bio-Tek Power Wave XS微孔板分光光度计,购自美国Bio-Tek公司;石蜡脱水机、病理切片机购自德国徕卡公司;高倍显微镜购自日本奥林巴斯有限公司。

### 1.2 实验方法

#### 1.2.1 动物造模与分组

将C57BL/6N野生型小鼠随机分为野生型对照组(WT)、rAAV8-1.3HBV转染组(rAAV)、CCl<sub>4</sub>组(CCl<sub>4</sub>)、rAAV8-1.3HBV转染复合CCl<sub>4</sub>组(rAAV+CCl<sub>4</sub>),将同周龄C57BL/6N-Tg(1.28HBV)/Vst乙肝病毒转基因小鼠随机分为HBV转基因组(Tg)、HBV转基因复合CCl<sub>4</sub>组(Tg+CCl<sub>4</sub>)。每组小鼠各设5只。rAAV8-1.3HBV转染采用尾静脉注射方式,实验首日注射1次,每只小鼠尾静脉注射病毒载量为 $1E+10$ v.g.;CCl<sub>4</sub>以橄榄油稀释至10%浓度,按照2mL/kg小鼠体重腹腔注射造模,隔天1次。造

模12周后麻醉处死小鼠,留取血清与肝组织。

### 1.2.2 血清HBV病毒学指标测定

血清HBsAg、HBeAg采用ELISA试剂盒检测,按照试剂盒说明书要求操作;血清HBV-DNA采用荧光探针PCR试剂盒检测,UNG酶反应50℃2 min,预变性94℃2 min,变性94℃10 s循环60次,退火、延伸及检测荧光60℃30 s检测通道:530 nm(FAM)。

### 1.2.3 血清肝功能测定

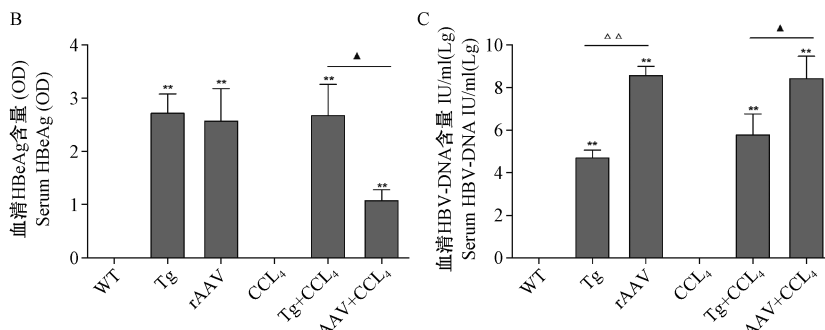
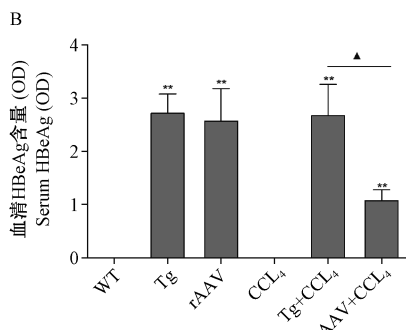
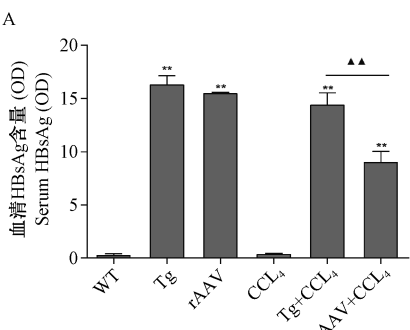
血清谷丙转氨酶(ALT)、谷草转氨酶(AST),采用赖氏比色法试剂盒检测;血清碱性磷酸酶(AKP),采用金氏法试剂盒检测,均按照试剂盒说明书要求操作。

### 1.2.4 肝组织Hyp含量测定

参照Jamall's盐酸水解法<sup>[3]</sup>,称取100 mg肝组织放入50%盐酸中105℃水解过夜。后取三层滤纸过滤水解液并吸取100 μL烘干处理。取Hyp标准品0.2~1.6 μg设为标准曲线,经氯胺T溶液0.2 mL,含25%对二甲基氨基苯甲醛和27.3%高氯酸的异丙醇溶液反应,50℃水浴1 h,558 nm测定吸收值。

### 1.2.5 肝组织病理

小鼠肝组织4%甲醛浸泡固定、脱水后石蜡包埋切片;进行HE染色后封片,显微镜(×200倍)观察。天狼猩红采用饱和苦味酸配制,显微镜(×100



注: \*\*  $P < 0.01$  vs WT; △△  $P < 0.01$  vs rAAV; ▲  $P < 0.05$ , ▲▲  $P < 0.01$  vs rAAV+CCl<sub>4</sub>; n=5。

图1 小鼠血清乙肝病毒学检测结果

Note. \*\*  $P < 0.01$  vs WT. △△  $P < 0.01$  vs rAAV. ▲  $P < 0.05$ , ▲▲  $P < 0.01$  vs rAAV+CCl<sub>4</sub>. n=5.

Figure 1 Virological detection of HBV in the mouse serum

### 2.2 两种复合模型小鼠肝组织免疫组化染色指标比较

肝组织石蜡切片免疫组化结果显示,WT组、CCl<sub>4</sub>组均未见HBsAg、HBcAg阳性表达,其余组别小鼠肝组织中HBsAg和HBcAg均可见不同程度阳

性表达(图2A);通过图片半定量分析后发现,rAAV组较Tg组HBsAg阳性表达面积明显减少( $P < 0.01$ ),而rAAV组较Tg组肝细胞核HBcAg阳性数量明显增多( $P < 0.01$ );两种复合模型组相比,HBsAg在肝组织中的表达未见明显差异( $P >$

### 1.2.6 肝组织免疫组织化学染色

肝组织脱蜡逐级复水,柠檬酸盐缓冲液高压热修复,3%双氧水去酶处理内源性酶。5%BSA室温30 min,滴加一抗4℃过夜。洗去一抗滴加二抗37℃1 h,洗去后滴加SABC链霉素10 min。DAB显色后苏木素染核封片。阳性区域总面积半定量分析采用Image-Pro Plus 6.0软件。

### 1.3 统计学分析

计量资料用( $\bar{x} \pm s$ )表示,所有数据均使用SPSS 21.0分析,对于符合正态性和方差齐性的计量资料,用单因素方差分析检验(LSD进行两两比较),两组间差异比较采用两独立样本的t检验。以 $P < 0.05$ 表示差异具有统计学意义。

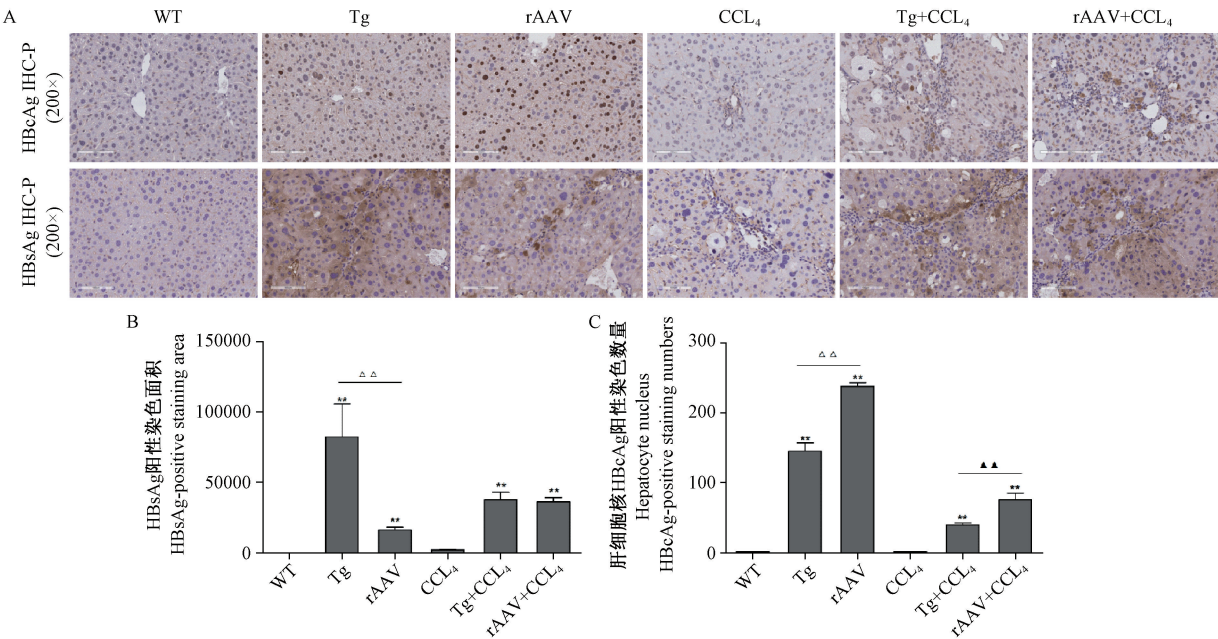
## 2 结果

### 2.1 两种复合模型小鼠血清病毒学指标比较

结果显示:除WT组、CCl<sub>4</sub>组外,其余组血清HBsAg、HBeAg均为阳性,两种复合模型组相比,Tg+CCl<sub>4</sub>组血清HBsAg和HBeAg水平高于rAAV+CCl<sub>4</sub>组( $P < 0.01$ 、 $P < 0.05$ )(图1A、1B)。PCR结果显示,除WT组、CCl<sub>4</sub>组外,其余组别血清HBV-DNA载量均高于 $1.0 \times 10^4$  IU/mL, rAAV组与rAAV+CCl<sub>4</sub>组HBV-DNA载量高于Tg组与Tg+CCl<sub>4</sub>组( $P < 0.01$ 、 $P < 0.05$ )(图1C)。

0.05),但 rAAV+CCl<sub>4</sub> 组肝细胞核 HBeAg 阳性数量

显著高于 Tg+CCl<sub>4</sub> 组( $P < 0.01$ )(图 2B、2C)。



注: \*\*  $P < 0.01$  vs WT,  $\Delta\Delta P < 0.01$  vs rAAV,  $\blacktriangle\blacktriangle P < 0.01$  vs rAAV+CCl<sub>4</sub>,  $n=5$ 。

图 2 小鼠肝组织 HBsAg、HBeAg 免疫组化染色与半定量分析

Note. \*\*  $P < 0.01$  vs WT,  $\Delta\Delta P < 0.01$  vs rAAV,  $\blacktriangle\blacktriangle P < 0.01$  vs rAAV+CCl<sub>4</sub>,  $n=5$ .

Figure 2 Immunohistochemical staining(A) and semi-quantitative analysis of HBsAg(B) and HBeAg(C) in the mouse liver tissues

### 2.3 两种复合模型小鼠肝组织炎症与纤维化生化学指标的比较

血清生化检测结果显示(表 1),与 WT 组比较,CCl<sub>4</sub> 复合造模 12 周后,CCl<sub>4</sub> 组、Tg+CCl<sub>4</sub> 组与 rAAV+CCl<sub>4</sub> 组血清 ALT 与 AST 水平均明显上升( $P < 0.01$ ),Tg 组与 rAAV 组对比 WT 组没有明显变化( $P > 0.05$ )。Tg 组与 rAAV 组 ALT 水平具有差异( $P < 0.01$ )。两种复合模型组相比;Tg+CCl<sub>4</sub> 组与

rAAV+CCl<sub>4</sub> 组 ALT、AST 水平均未见显著差异( $P > 0.05$ );各组 AKP 水平均未见明显差异( $P > 0.05$ )。肝组织 Hyp 含量检测结果显示,与 WT 组比较,CCl<sub>4</sub> 复合造模 12 周后,CCl<sub>4</sub> 组、Tg+CCl<sub>4</sub> 组与 rAAV+CCl<sub>4</sub> 组肝组织中 Hyp 含量均显著升高( $P < 0.01$ ),两种复合模型组相比,Tg+CCl<sub>4</sub> 组对比 rAAV+CCl<sub>4</sub> 组肝内 Hyp 含量具有明显差异( $P < 0.01$ )。

表 1 小鼠血清肝功能及肝组织羟脯氨酸含量的测定

Table 1 Serum ALT, AST, AKP levels and Hyp levels in the mouse liver tissues

组别 Groups	ALT (IU/L)	AST (IU/L)	AKP (King U/100 mL)	Hyp ( $\mu$ g/g wet liver)
WT 组	6.33 ± 0.23	6.57 ± 1.22	20.80 ± 1.61	171.39 ± 22.21
Tg 组	9.66 ± 0.49 $\Delta\Delta$	11.69 ± 1.14	23.54 ± 1.75	215.35 ± 5.88
rAAV 组	7.40 ± 1.03	9.60 ± 1.39	18.96 ± 2.87	250.36 ± 84.08
CCl <sub>4</sub> 组	87.68 ± 3.13 **	24.20 ± 17.27 **	25.03 ± 7.73	624.36 ± 100.43 **
Tg+CCl <sub>4</sub> 组	119.15 ± 29.34 **	35.83 ± 17.89 *	26.23 ± 6.09	798.34 ± 311.56 ** $\blacktriangle\blacktriangle$
rAAV+CCl <sub>4</sub>	119.60 ± 38.49 **	40.23 ± 27.33 **	21.15 ± 2.62	604.33 ± 166.27 **

注: \*  $P < 0.05$ , \*\*  $P < 0.01$  vs WT,  $\Delta\Delta P < 0.01$  vs rAAV,  $\blacktriangle\blacktriangle P < 0.01$  vs rAAV+CCl<sub>4</sub>,  $n=5$ 。

Note. \*  $P < 0.05$ , \*\*  $P < 0.01$  vs WT,  $\Delta\Delta P < 0.01$  vs rAAV,  $\blacktriangle\blacktriangle P < 0.01$  vs rAAV+CCl<sub>4</sub>,  $n=5$ .

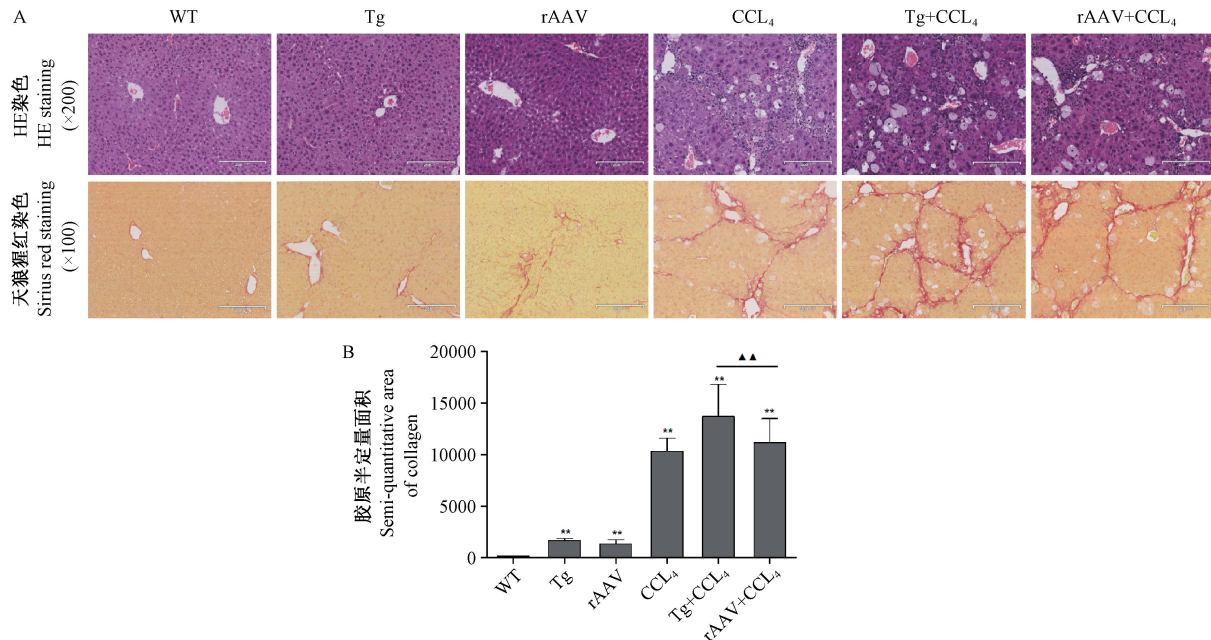
### 2.4 两种复合模型小鼠肝组织炎症与纤维化病理特点的比较

HE 染色结果显示,WT 组小鼠肝小叶结构完整、清晰,肝细胞呈条索状排列整齐,在中央静脉周围呈放射状分布,Tg 组与 rAAV 组肝小叶排列整齐,

仅可观察到肝细胞核增大,其中 rAAV 组存在少量炎细胞浸润,CCl<sub>4</sub> 组、rAAV+CCl<sub>4</sub> 组、Tg+CCl<sub>4</sub> 组均出现大量肝实质细胞坏死,正常肝小叶结构消失,出现明显气球样变和脂肪变,汇管区大量炎性细胞浸润。天狼猩红染色结果显示,WT 组肝组织未见

明显胶原沉积,Tg 组和 rAAV 组汇管区及小叶间出现少量胶原沉积,呈细线状,未见明显的桥接和假小叶,CCl<sub>4</sub> 组、rAAV+CCl<sub>4</sub> 组、Tg+CCl<sub>4</sub> 组肝组织出现明显胶原纤维沉积,由汇管区向周围延伸,形成

纤维间隔,其中 Tg+CCl<sub>4</sub> 组可见到明显的假小叶形成(图 3A)。通过胶原半定量分析后发现;Tg+CCl<sub>4</sub> 组胶原含量高于 rAAV+CCl<sub>4</sub> 组( $P < 0.01$ )(图 3B)。



注: \*\*  $P < 0.01$  vs WT, ▲▲  $P < 0.01$  vs rAAV+CCl<sub>4</sub>,  $n=5$ 。

图 3 肝组织病理 HE、天狼猩红染色与胶原半定量分析

Note. \*\*  $P < 0.01$  vs WT, ▲▲  $P < 0.01$  vs rAAV+CCl<sub>4</sub>,  $n=5$ .

**Figure 3** Pathological changes (A) and semi-quantitative analysis of collagen content (B) in the mouse liver tissues

### 3 讨论

目前乙肝动物模型主要为:麻鸭乙型肝炎模型、转基因小鼠模型、树鼩模型等<sup>[4-5]</sup>。其中以小鼠乙肝模型为主流<sup>[6-7]</sup>。小鼠乙肝模型又可分为转基因型、高压水动力注射型与腺病毒转染<sup>[8]</sup>三种。其中利用肝衰竭小鼠移植人骨髓间充质干细胞(bone marrow mesenchymal stem cells)的人源化模型可有效模拟人体乙肝肝硬化发病过程<sup>[9]</sup>,但是此类方法实验难度较高且成本较为昂贵。近年来,有研究者使用 HBV 转基因小鼠复合 CCl<sub>4</sub> 模型观察慢性乙肝肝纤维化过程中自然杀伤 T 细胞(natural killer T cells, NKT cells)的变化<sup>[10]</sup>。构建慢性乙肝肝纤维化动物模型需具备两个基本要素:首先是 HBV 基因的高水平表达,其次具有长期性的 HBV 感染及相应的纤维化的病理特征。rAAV 采用携带 1.3 拷贝 HBV 基因组的重组 8 型腺相关病毒,依其对于肝亲嗜性特点,将 HBV 基因组高效导入肝细胞中<sup>[11]</sup>。HBV-Tg 转基因小鼠则是 1.28 拷贝 HBV 病毒基因片段或全基因组导入小鼠单细胞受精卵的雄原核,

再植入母体使其发育<sup>[12]</sup>。本实验室前期研究表明<sup>[13]</sup>,单纯 HBV-Tg 小鼠在 36 周以上才会出现较为明显的自发性病理炎症和转氨酶升高。通过 CCl<sub>4</sub> 复合造模可以进一步缩短成模时间。CCl<sub>4</sub> 模型在与肝纤维化发展相关的组织学、生化学、细胞和分子变化方面具有明显特点,通过诱导肝内 III 区坏死和肝细胞凋亡,使肝星状细胞活化导致纤维化产生<sup>[14-15]</sup>。

合理地选用小鼠慢性乙肝模型可以有效解决 HBV 在病毒感染、复制、免疫应答和药物评价方面的难题。本研究发现:Tg 组与 rAAV 组在联合 CCl<sub>4</sub> 染毒 12 周后能够稳定成模。两者血清生化差异并不明显,其差异主要体现在病毒学标志物方面。HBV-DNA 结果可以看到:由于 rAAV 本身具有剧烈嗜肝性,注射机体后破坏肝细胞使大量 HBV-DNA 释放入血,并且肝组织中 HBcAg 大面积表达是其典型特征。而 HBV-Tg 病毒主要依靠小鼠不断表达 HBV 蛋白并且在肝中产生病毒颗粒<sup>[16]</sup>,HBV-DNA 的复制则相对缓慢。rAAV8 注射后,机体自身免疫应答升高,血清中出现 Anti-HBs, 血清学转换发生,

部分 HBsAg 被清除<sup>[17-18]</sup>, 导致血清与肝组织中 HBsAg 和 HBeAg 水平较 HBV-Tg 组偏低。纤维化进展方面; Tg+CCl<sub>4</sub> 组则更为明显, 其原因和自然杀伤 T 细胞加速并释放细胞因子 IL-4 和 IL-13 导致肝星状细胞 (hepatic stellate cell, HSC) 活化有关<sup>[19]</sup>。

综上所述, rAAV 与 HBV-Tg 在建立慢性乙肝模型上具有一定优势, 但是同时也存在一些局限性。首先两者无法有效在体内合成共价闭合环状 DNA (covalently closed circular DNA, cccDNA)。并且由于 CCl<sub>4</sub> 造成的脂质过氧化损伤后部分肝实质细胞产生坏死, 导致 HBV 的复制存在一定抑制<sup>[20]</sup>, 但 rAAV+CCl<sub>4</sub> 组与 Tg+CCl<sub>4</sub> 组病毒学指标仍要高于 WT 组。本次实验 rAAV 注射剂量为每只 1E+10v.g., 增加病毒载量至 5E+12v.g. 时成模效率可能更高, 并且 rAAV 由于其存在嗜肝性, 需要一定的尾静脉注射技巧, 处理不当可导致实验人员发生感染风险。而 HBV-Tg 相对风险性较小并且价格相对低廉。综上所述, 本研究两种模型可以给慢性乙肝纤维化的药物评价提供一定思路和借鉴。如需探讨乙肝纤维化免疫机制等其他问题, 则有待进一步研究挖掘。

## 参 考 文 献(References)

- [ 1 ] Zhang HW, Yin JH, Li YT, et al. Risk factors for acute hepatitis B and its progression to chronic hepatitis in Shanghai, China [J]. Gut, 2008, 57(12): 1713-1720.
- [ 2 ] Beasley RP, Hwang LY. Hepatocellular carcinoma and hepatitis B virus [J]. Semin Liver Dis, 2006, 26(2): 153-161.
- [ 3 ] Jamall I, Finelli V, Que Hee S. A simple method to determine nanogram levels of 4-hydroxyproline in biological tissues [J]. Anal Biochem, 1981, 112(1): 70-75.
- [ 4 ] 徐桂利, 高新, 刘铮铸, 等. 乙肝病毒体内外感染模型研究进展 [J]. 中国比较医学杂志, 2016, 26(9): 93-98.  
Xu JL, Gao X, Liu ZT, et al. Recent progress for HBV infection model in vitro and in vivo [J]. Chin J Comp Med, 2016, 26(9): 93-98.
- [ 5 ] Huang LR, Wu HL, Chen PJ, et al. An immunocompetent mouse model for the tolerance of human chronic hepatitis B virus infection [J]. J Clin Virol, 2006, 103(47): 17862-17867.
- [ 6 ] Bourgine M, Crabe S, Lobaina Y, et al. Nasal route favors the induction of CD4<sup>+</sup> T cell responses in the liver of HBV-carrier mice immunized with a recombinant hepatitis B surface- and core-based therapeutic vaccine [J]. Antiviral Res, 2018, 153: 23-32.
- [ 7 ] Yang D, Liu L, Zhu D, et al. A mouse model for HBV immunotolerance and immunotherapy [J]. Cell Mol Immunol, 2014, 11(1): 71-78.
- [ 8 ] Ilan E, Burakova T, Dagan S, et al. The hepatitis B virus-trimera mouse: A model for human HBV infection and evaluation of anti-HBV therapeutic agents [J]. Hepatology, 1999, 29(2): 553-562.
- [ 9 ] Yuan L, Jiang J, Liu X, et al. HBV infection-induced liver cirrhosis development in dual-humanised mice with human bone mesenchymal stem cell transplantation [J]. Gut, 2019. pii: gutjnl-2018-316091
- [ 10 ] Jin Z, Sun R, Wei H, et al. Accelerated liver fibrosis in hepatitis B virus transgenic mice: Involvement of natural killer T cells [J]. Hepatology, 2011, 53(1): 219-229.
- [ 11 ] 董小岩, 厉迟捷, 吴小兵. 高嗜肝性 8 型重组腺相关病毒体内转导法制备乙型肝炎病毒持续感染小鼠模型 [J]. 病毒学报, 2010, 26(6): 425-431.  
Dong XY, Yu CJ, Wang G, et al. Establishment of hepatitis B virus (HBV) Chronic infection mouse model by in vivo transduction with a recombinant adeno-associated virus 8 carrying 1.3 copies of HBV genome (rAAV8-1.3HBV) [J]. Chin J Virol, 2010, 26(6): 425-431.
- [ 12 ] Chisari FV, Pinkert CA, Milich DR, et al. A transgenic mouse model of the chronic hepatitis B surface antigen carrier state [J]. Science, 1985, 230(4730): 1157-1160.
- [ 13 ] 孙鑫, 黄恺, 赵志敏, 等. C57BL/6N-Tg(1.28HBV)/Vst 乙肝病毒转基因小鼠肝脏炎症与纤维化的病理特点 [J]. 肝脏, 2018, 23(1): 26-30.  
Sun X, Huang K, Zhao ZM, et al. Pathological features of liver inflammation and fibrosis in hepatitis B virus transgenic mice C57BL/6N-Tg (1.28HBV) /Vst [J]. Chin Hepatol, 2018, 23(1): 26-30.
- [ 14 ] Constantinou C, Henderson N, Iredale JP. Modeling liver fibrosis in rodents [J]. Methods Mol Med, 2005, 117: 237-250.
- [ 15 ] 周滔, 闫秀川, 杨珂, 等. CCl<sub>4</sub> 和脂多糖诱导的急性肝损伤中肝细胞凋亡病理特点比较 [J]. 中国实验动物学报, 2007, 15(5): 347-350+315.  
Zhou T, Yan XC, Yang K, et al. Comparison of hepatocyte apoptosis induced by CCl<sub>4</sub> and LPS in mice [J]. Acta Lab Anim Sci Sin, 2007, 15(5): 347-350+315.
- [ 16 ] Wang Y, Chen K, Wu Z, et al. Immunizations with hepatitis B viral antigens and a TLR7/8 agonist adjuvant induce antigen-specific immune responses in HBV-transgenic mice [J]. Int J Infect Dis, 2014, 29: 31-36.
- [ 17 ] 王刚, 董小岩, 田文洪, 等. 用 rAAV8-1.3HBV 制备两种品系小鼠乙型肝炎病毒感染模型的比较研究 [J]. 病毒学报, 2012, 28(05): 541-547.  
Wang G, Dong XY, Tian WH, et al. Study on the differences of two mouse models of hepatitis B virus infection by transduction with rAAV8-1.3HBV [J]. Chin J Virol, 2012, 28(5): 541-547.
- [ 18 ] Zheng B, Ng M, He L, et al. Therapeutic efficacy of hepatitis B surface antigen-antibodies-recombinant DNA composite in HBsAg transgenic mice [J]. Vaccine, 2001, 19(30): 4219-4225.
- [ 19 ] 李凤磊, 郝晓磊, 田志刚. HBV 小鼠模型与肝脏免疫学研究进展 [J]. 中国免疫学杂志, 2016, 32(2): 145-153.  
Li FL, Hao XL, Tian ZG. Research advances of HBV mouse model and liver immunology [J]. Chin J Immun, 2016, 32(2): 145-153.
- [ 20 ] Hu D, Wang H, Wang H, et al. Non-alcoholic hepatic steatosis attenuates hepatitis B virus replication in an HBV-immunocompetent mouse model [J]. Hepatol Int, 2018, 12(5): 438-446.